

Kap. 22. Gauss' lov

Vi skal se på:

- Fluksen til elektrisk felt E
- Gauss' lov
 - Integralform og differensialform
- Elektrisk ledere.

E -felt fra Coulombs lov:

$$\vec{E} = k \frac{q}{r^2} \cdot \hat{r} \quad \vec{E} = k \sum_n \frac{q_n}{r_{0n}^2} \hat{r}_{0n} \quad \vec{E} = k \int_{\text{tot.ladn.}} \frac{dq}{r^2} \cdot \hat{r}$$

Punktladn

Flere punktladn.

Kontinuerlig fordeling

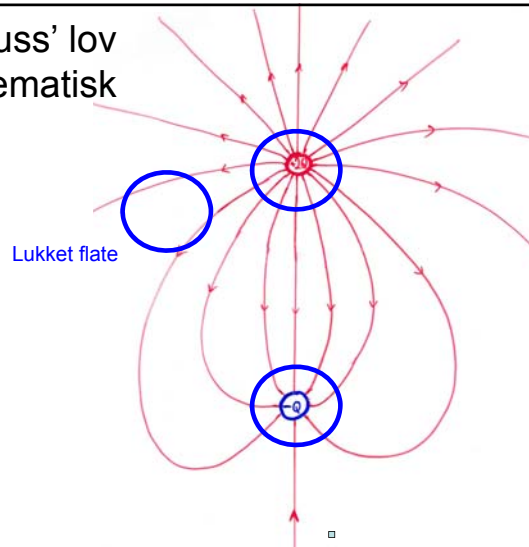
Blir lett vanskelig integrasjonsarbeid.
En enklere metode?

Ja: Gauss' lov

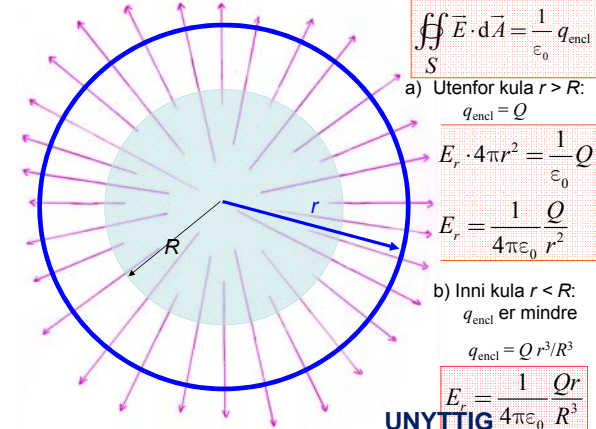


Johann Carl Friedrich Gauss (1777-1855),
tysk matematiker / fysiker

Gauss' lov
skjematisk



Eks.1: Homogent ladd kule
=Y&F Ex. 22.9 = LHL 19.12



Eks.1: Homogent ladd kule

$\oiint_S \vec{E} \cdot d\vec{A} = \frac{1}{\epsilon_0} q_{\text{encl}}$

$E(R) = \frac{1}{4\pi\epsilon_0} \frac{Q}{R^2}$

$E = \frac{1}{4\pi\epsilon_0} \frac{Qr}{R^3}$

$E = \frac{1}{4\pi\epsilon_0} \frac{Q}{r^2}$

(Y&F Fig 22.22)

Eks.2: Felt nær flateladning

=Y&F Ex. 22.7 = LHL 19.14

$\oiint_S \vec{E} \cdot d\vec{A} = \frac{1}{\epsilon_0} q_{\text{encl}}$

$E_{\perp} = E$

(Y&F Fig 22.20)

Eksempler

i forelesning (Eks...), Y&F Ed13 (Ex...), og LHL (L...)

| | Kap 21. E-felt | Kap 22. Gauss lov | Kap 23. Potensial |
|--------------------------|-----------------------------------|------------------------------|---------------------|
| Dipol | Eks. 2 Ex. 21.8+21.14 L19.6 | | Eks. 4 Ex. 23.4 |
| Linjeladning endelig | Eks. 3 Ex. 21.10 | | Ex. 23.12 |
| Linjeladning uendelig | (Eks. 3) L19.7 | Eks. 5 Ex. 22.6, L19.13 | Eks. 9 Ex. 23.10 |
| Tynn ring | Eks. 4 Ex. 21.9 | | Eks. 7 Ex. 23.11 |
| Sirkulær plate | Eks. 5 Ex. 21.11 | | |
| Uendelig plate | Eks. 6 Ex. 21.11 L19.9 | Eks. 2 Ex. 22.7 L19.14 | L19.15 |
| Parallellplater | Ex. 21.12 Eks. 7 | Ex. 22.8 | Eks. 5 Ex. 23.9 |
| Kule med homogen ladning | | Eks. 1 Ex. 22.9 L19.12 | Eks. 8 L19.19 |
| Lederkule | | Eks. 3 Ex. 22.5 | Eks. 6 Ex. 23.8 |

Ladningstettheter:

| | Symbol | Enhet | Infinitesimal ladning |
|--------|-----------|------------------|-----------------------|
| Linje- | λ | C/m | $dq = \lambda dl$ |
| Flate- | σ | C/m ² | $dq = \sigma dA$ |
| Rom- | ρ | C/m ³ | $dq = \rho d\tau$ |

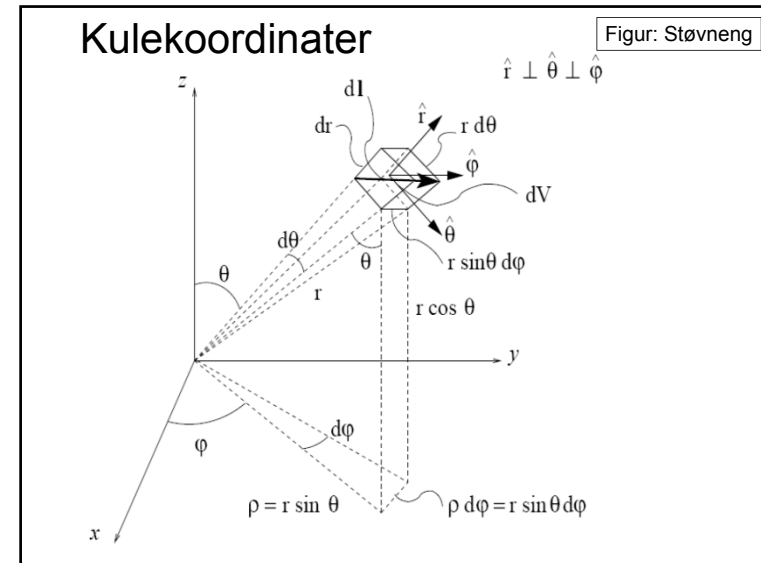
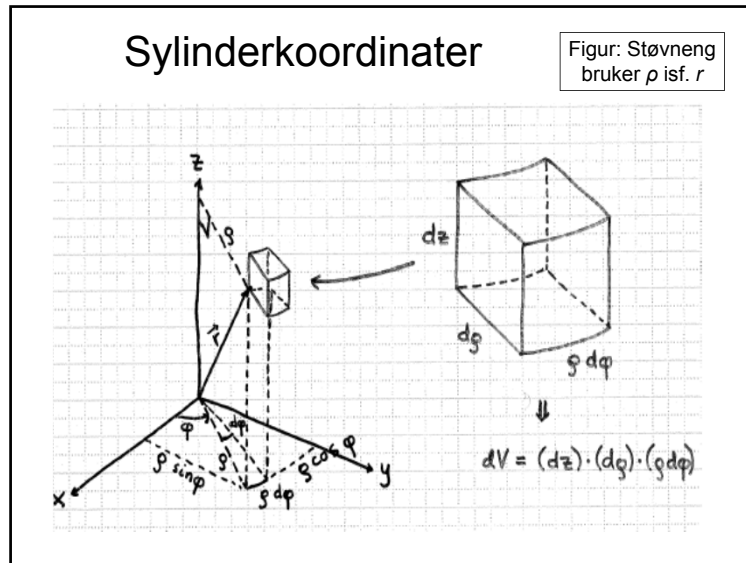
Eks.: Romladning

$$q_{\text{encl}} = \int dq = \iiint \rho d\tau$$

med høvelig volumelement $d\tau$,
f.eks.
 $d\tau = dx dy dz$ (kartesisk koord.)

$d\tau = 4\pi r^2 dr$ (kulekoordinat.)

$d\tau = h 2\pi r dr$ (sylinderkoordinat.)



Infinitesimale volumelement

Kartesiske koordinater: $d\tau = dx \, dy \, dz$

Sylinderkoordinater: $d\tau = r \, d\phi \cdot dr \cdot dz$
 Integert over ϕ : $d\tau = \int_0^{2\pi} d\phi \cdot r \, dr \cdot dz = 2\pi r \, dr \, dz$
 Når **sylindersymmetri** bruk alltid dette uttrykket:
 $d\tau = 2\pi r \, dr \, l = \text{omkrets} \cdot \text{tykkelse} \cdot \text{høyde}$

Kulekoordinater: $d\tau = dr \cdot r \, d\theta \cdot r \sin\theta \, d\phi = \sin\theta \, d\theta \, d\phi \, r^2 \, dr$
 Integert over θ og ϕ : $d\tau = \int_0^\pi \sin\theta \, d\theta \cdot \int_0^{2\pi} d\phi \cdot r^2 \, dr = 2 \cdot 2\pi \cdot r^2 \, dr$
 Når **kulesymmetri** bruk alltid dette uttrykket:
 $d\tau = 4\pi r^2 \, dr = \text{kuleareal} \cdot \text{tykkelse}$

se også [formelark](#)

Gauss' lov

- **Integralform:** $\oiint_S \vec{E} \cdot d\vec{A} = \frac{1}{\epsilon_0} q_{\text{encl}}$
 Fluks ut = $1/\epsilon_0 \cdot (\text{ladn. innenfor})$
- **Differensialform:** $\text{div} \vec{E} = \frac{1}{\epsilon_0} \rho$
 $\text{div} \vec{E} = \text{divergensen til } \mathbf{E}$

divergens = kilde

● = pos.ladning
= kilde

↖ = E-felt

div $E > 0$

div $E = 0$

Uttrykk divergens, se [formelark](#)

Gauss' lov på differensialform:

$$\text{div } \vec{E} = \frac{1}{\epsilon_0} \rho = \text{divergensen til } \vec{E}$$

Divergensen med nablaoperator:

$$\text{div } \vec{E} = \vec{\nabla} \cdot \vec{E}$$

Kartesiske koordinater:

$$\vec{\nabla} \cdot \vec{E} = \left[\frac{\partial}{\partial x}, \frac{\partial}{\partial y}, \frac{\partial}{\partial z} \right] \cdot [E_x, E_y, E_z]$$

$$= \frac{\partial E_x}{\partial x} + \frac{\partial E_y}{\partial y} + \frac{\partial E_z}{\partial z}$$

Sylinder- og kulekoordinater: Se formelark.

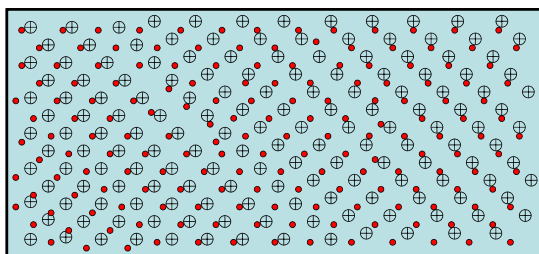
Kun r -avhengighet aktuelt ($\partial / \partial r$).

Elektrisk leder med valenselektroner ●

Et metallatom: \oplus
(eks Li)

Ett elektron frigjøres lett (valenselektron●)

og valenselektronene beveger seg fritt i metallet:

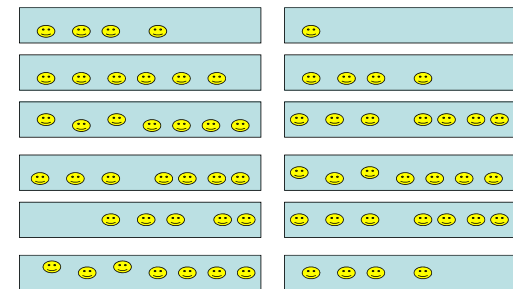


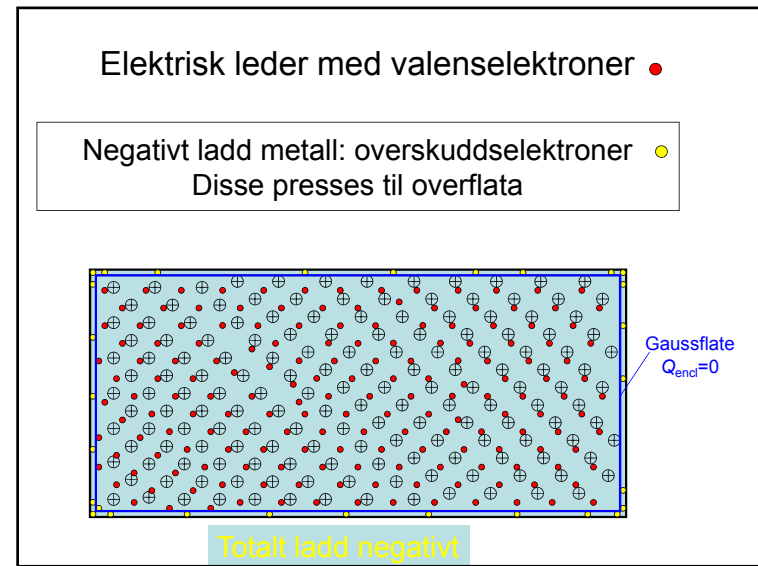
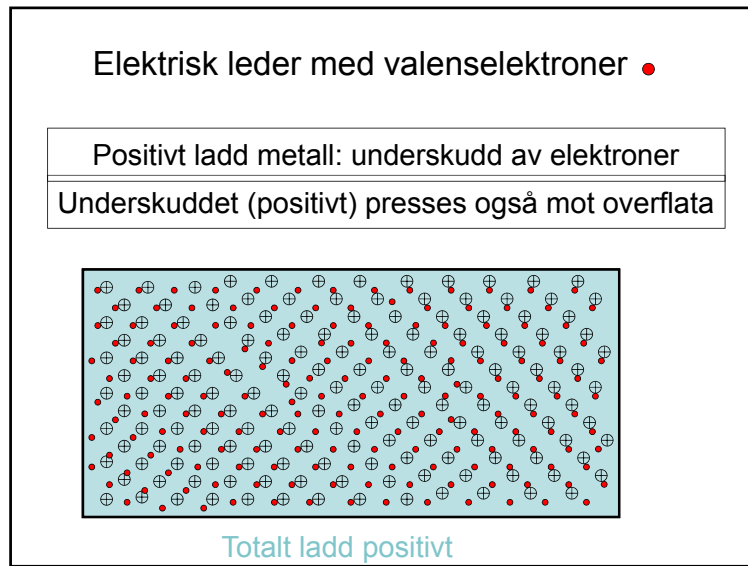
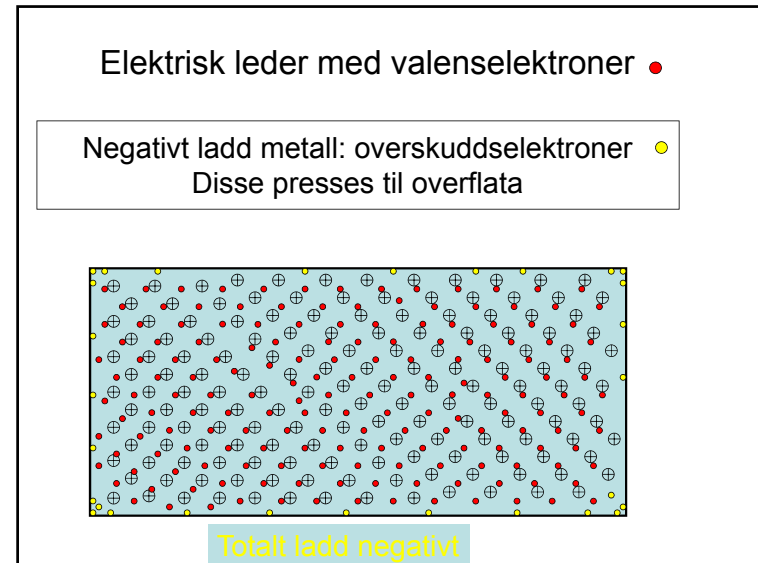
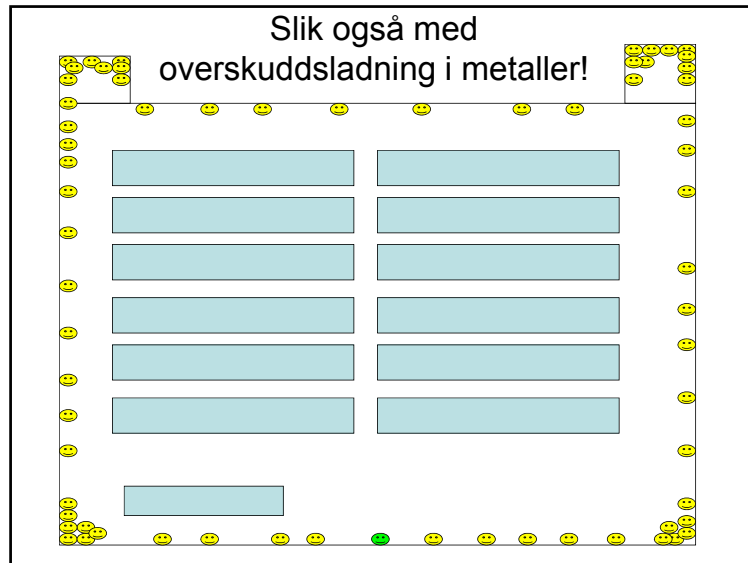
Totalt sett nøytralt

Auditoriet:

Hver av oss lades -1C

(Hvis samme e/m som elektron, ville vi ha ladning $\sim -10^{13}$ C)





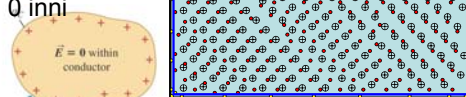
Elektrisk ledere (metaller)

1. Metallatomer har ett eller flere frie valenselektroner.



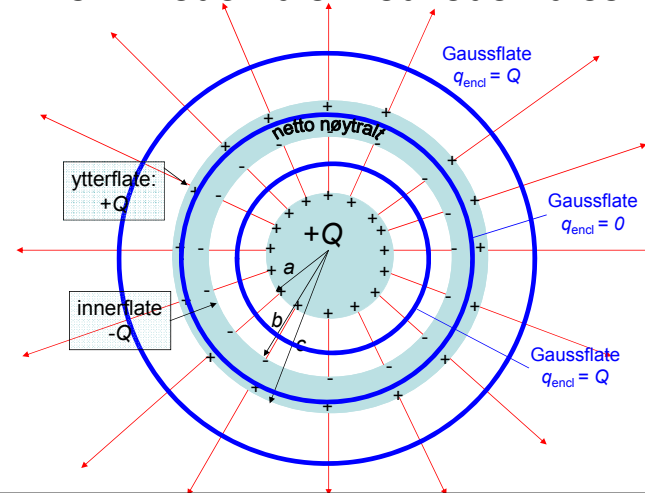
2. Evt. overskuddselektroner skyves til overflata
(=> kun overflateladning σ .)

3. $\rho = 0$ og $E = 0$ inni



4. Rett utenfor overflata:
kun E normal: $E_{\perp} = \sigma/\epsilon_0$

Eks.4: Lederkule med lederkuleskall

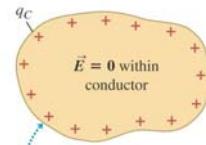


Feltet er null
overalt inne i ledere

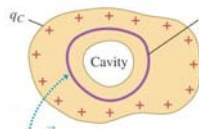
.. og inne i laddningsfrie hulrom i ledere.

.. men ikke i hulrom med ladning.

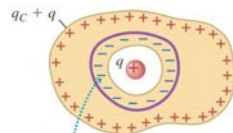
(a) Solid conductor with charge q_c



(b) The same conductor with an internal cavity



(c) An isolated charge q placed in the cavity



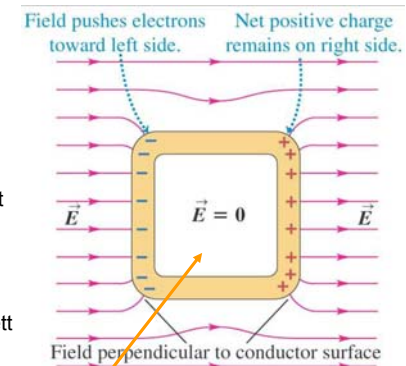
..Øving 3, opg. 2.

Y&F Fig 22.23

Nøytral leder i ytre E-felt

Ladninger forskyves akkurat så mye at:

- 1) $E = 0$ i leder og hulrom
- 2) E normal på overflata rett utenfor



rom som er skjermet fra E-felt:
Faradaybur

